

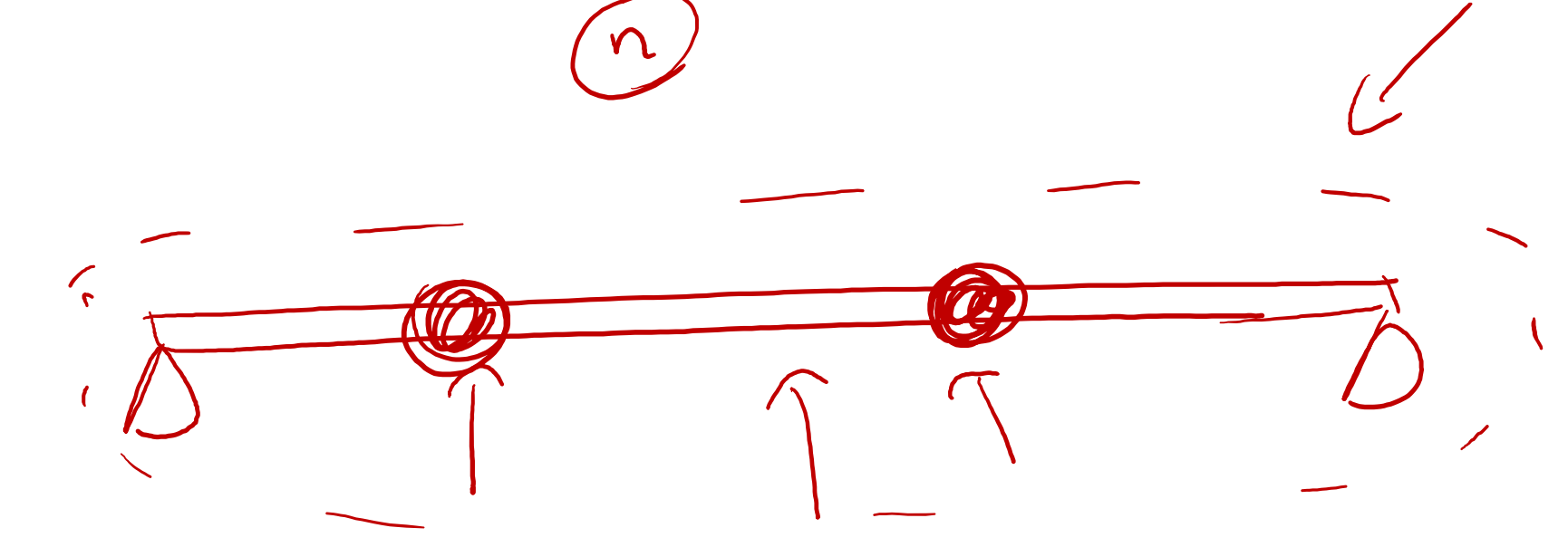


École polytechnique de Lausanne

Prof. Guillermo Villanueva

## EPFL Introduction



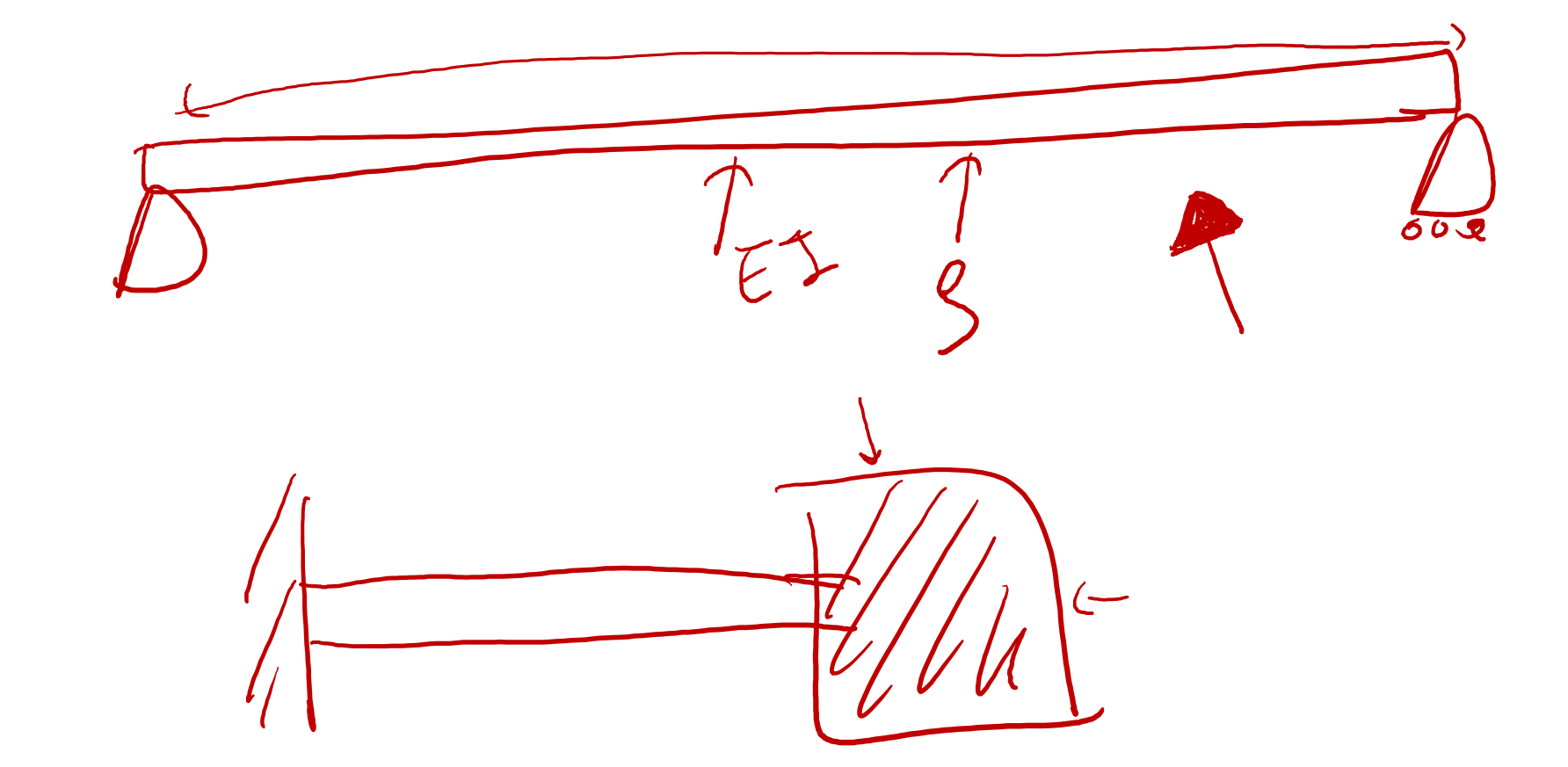


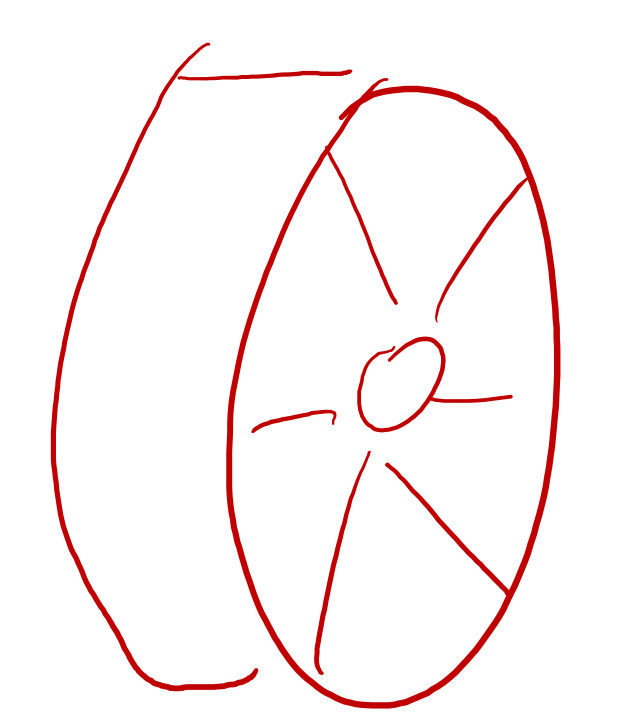


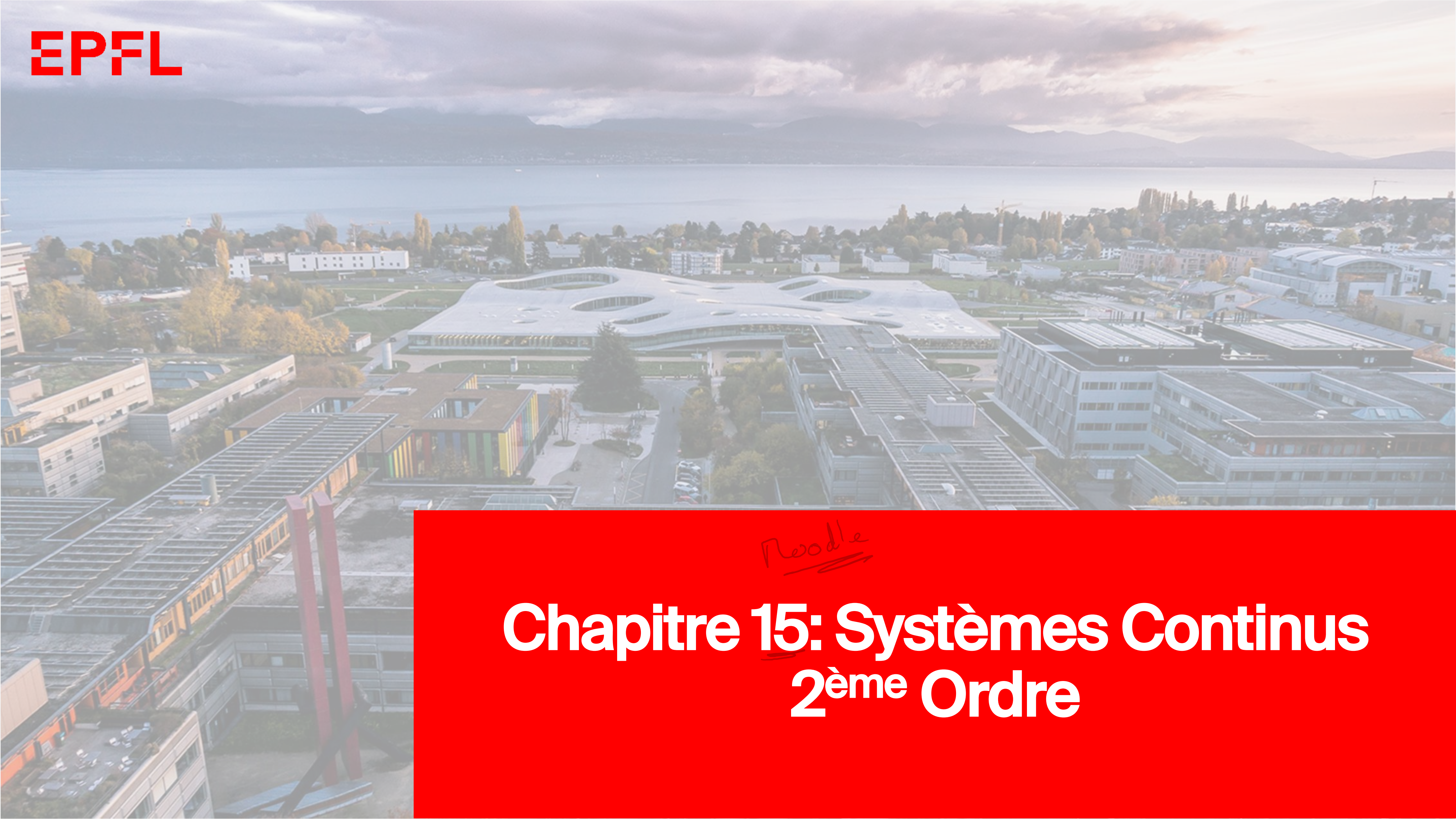


Séparation de variables









## EPFL Systèmes continus – 2ème ordre

Caractéristiques des systèmes vibratoires continus du deuxième ordre

- leurs masses sont réparties et déformables;
- leurs éléments élastiques et dissipatifs sont continus et généralement liés aux propriétés constitutives des masses;
- ils possèdent un nombre infini de degrés de liberté et, par conséquent, de fréquences propres;
- l'étude analytique de leur comportement vibratoire n'est possible que pour des configurations très simples;
- l'analyse des systèmes de la pratique requiert le recours à des méthodes numériques de résolution.

Equation différentielle régissant le comportement vibratoire de *systèmes continus simples* du deuxième ordre – Equation d'onde de *d'Alembert* 

$$\frac{\partial^2 y}{\partial t^2} = a^2 \frac{\partial^2 y}{\partial x^2}$$

y(x, t) fonction vibratoire

x variable géométrique [m]

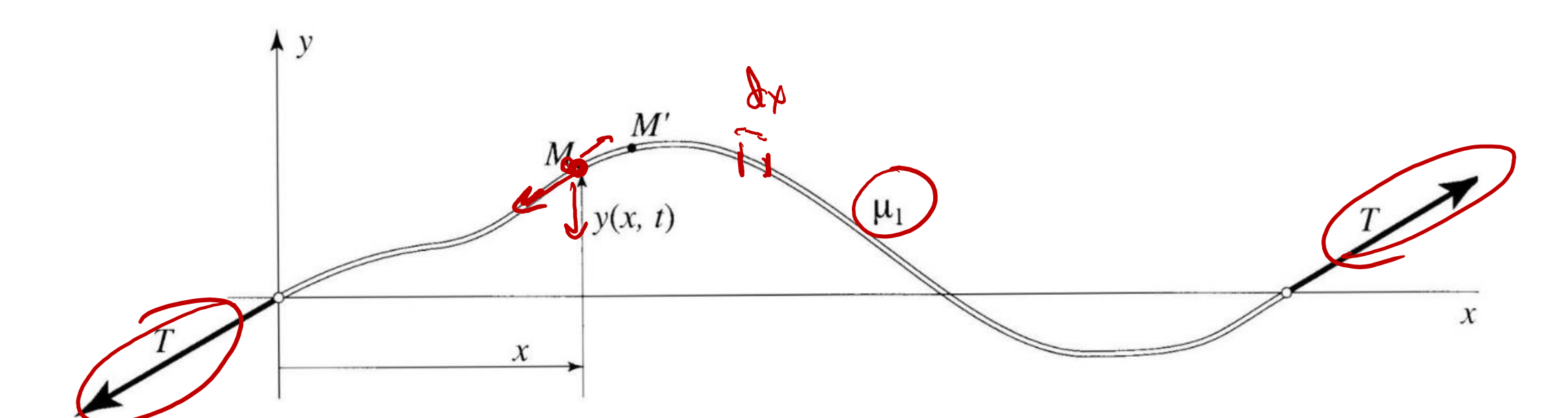
t temps [s]

a célérité de l'onde [m|s]

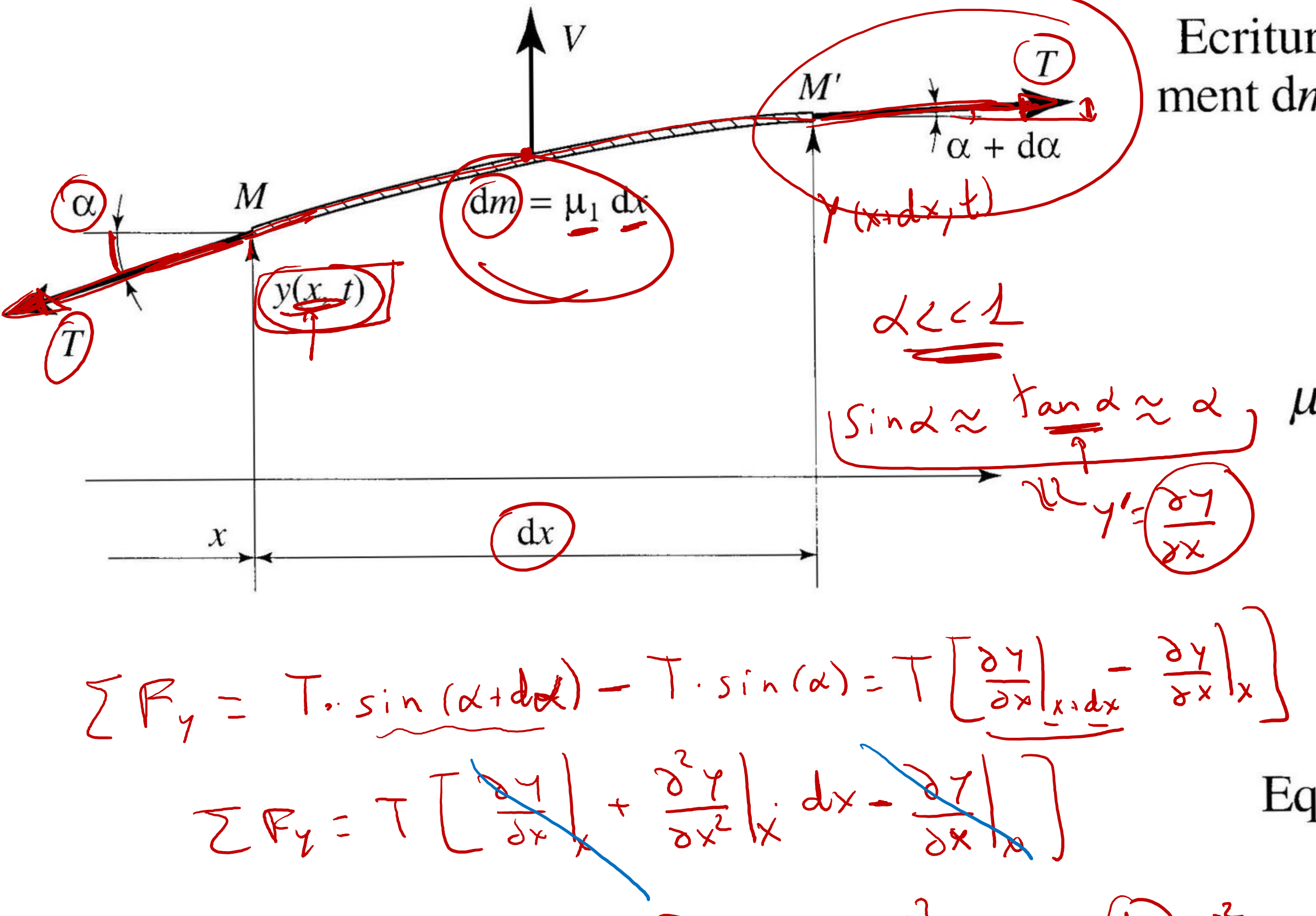
## EPFL i. Vibrations latérales des cordes

Hypothèses adoptées pour l'étude des vibrations latérales des cordes

- la masse de la corde par unité de longueur  $\mu_1$  est constante et concentrée sur la ligne moyenne y(x,t);
- les déplacements latéraux sont suffisamment petits pour que la tension *T* reste, au premier ordre, constante;
- les déplacements se produisent dans un plan.



#### EPFL I. Vibrations latérales des cordes



 $\sum_{x} F_{x} = \int_{x} \int_$ 

Ecriture de la *loi de Newton* – Equilibre d'un élément d*m* de corde par projection verticale des forces

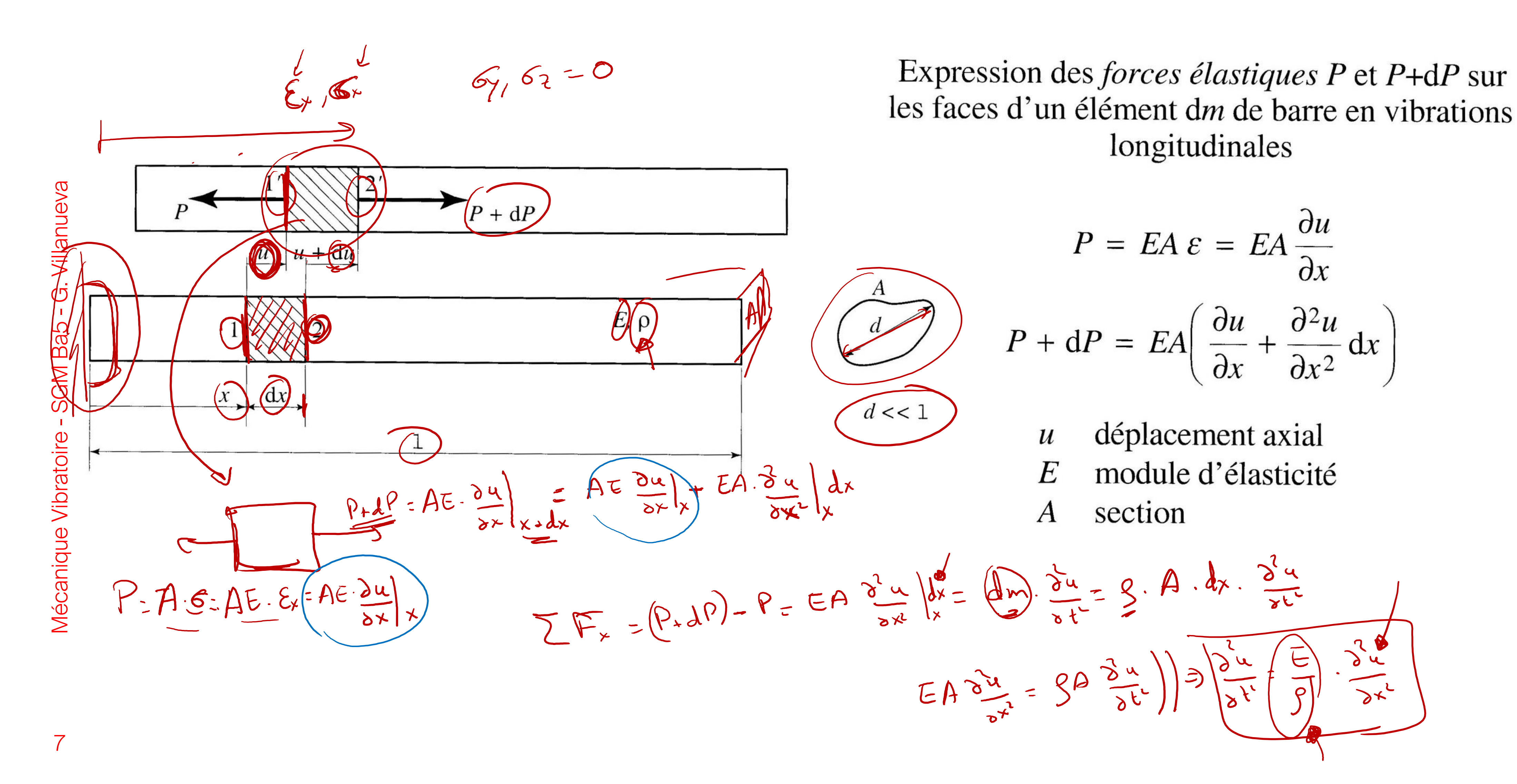
$$dm\frac{\partial^2 y}{\partial t^2} = T(\alpha + d\alpha) - T\alpha$$

Sind 
$$\approx \tan \alpha \approx \alpha$$
,  $\mu_1 dx \frac{\partial^2 y}{\partial t^2} = T \left( \frac{\partial y}{\partial x} + \frac{\partial^2 y}{\partial x^2} dx - \frac{\partial y}{\partial x} \right)$ 

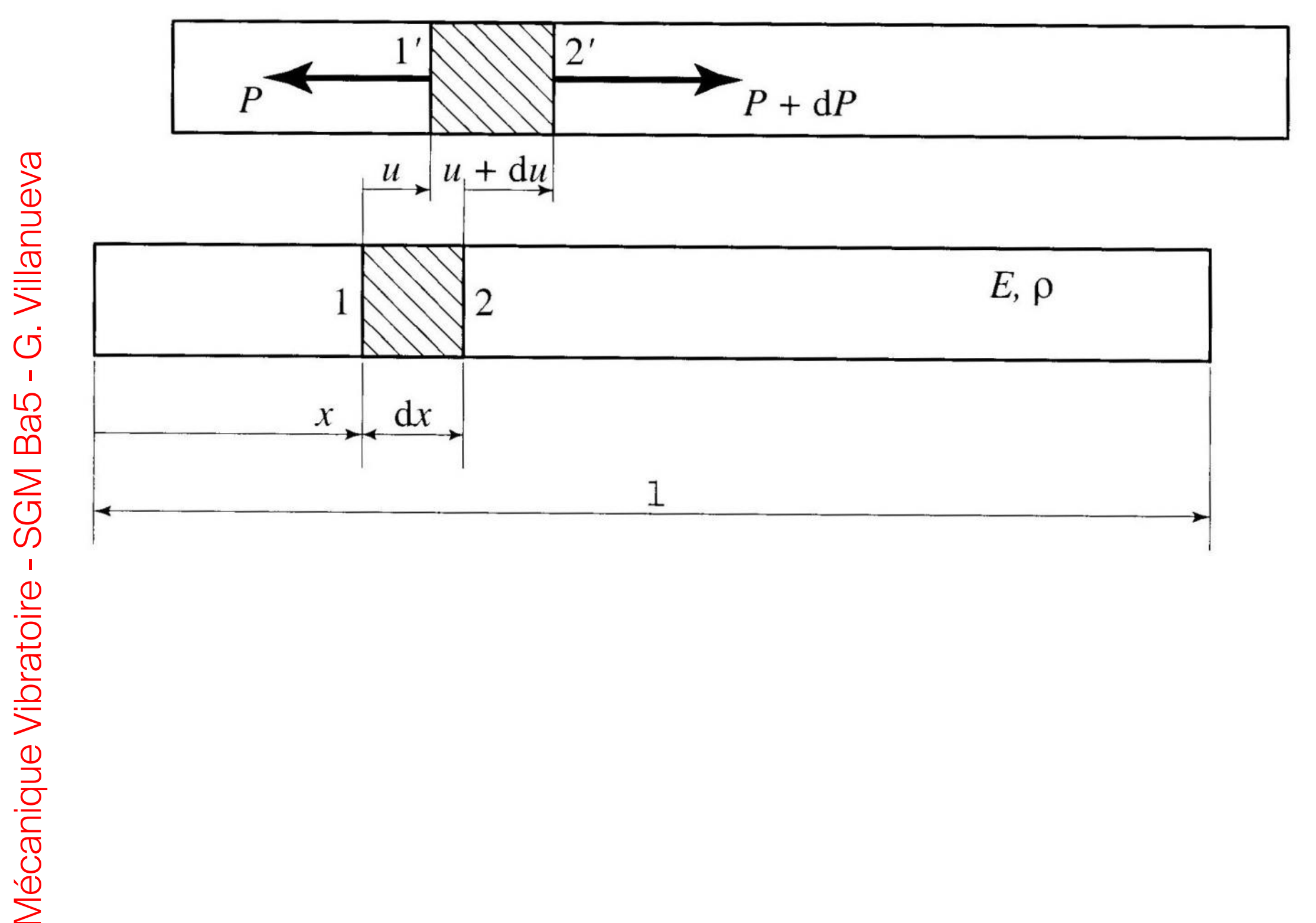
T tension dans la corde  $\mu_1$  masse par unité de longueur

$$\frac{\partial^2 y}{\partial t^2} = \frac{T}{\mu_1} \frac{\partial^2 y}{\partial x^2}$$

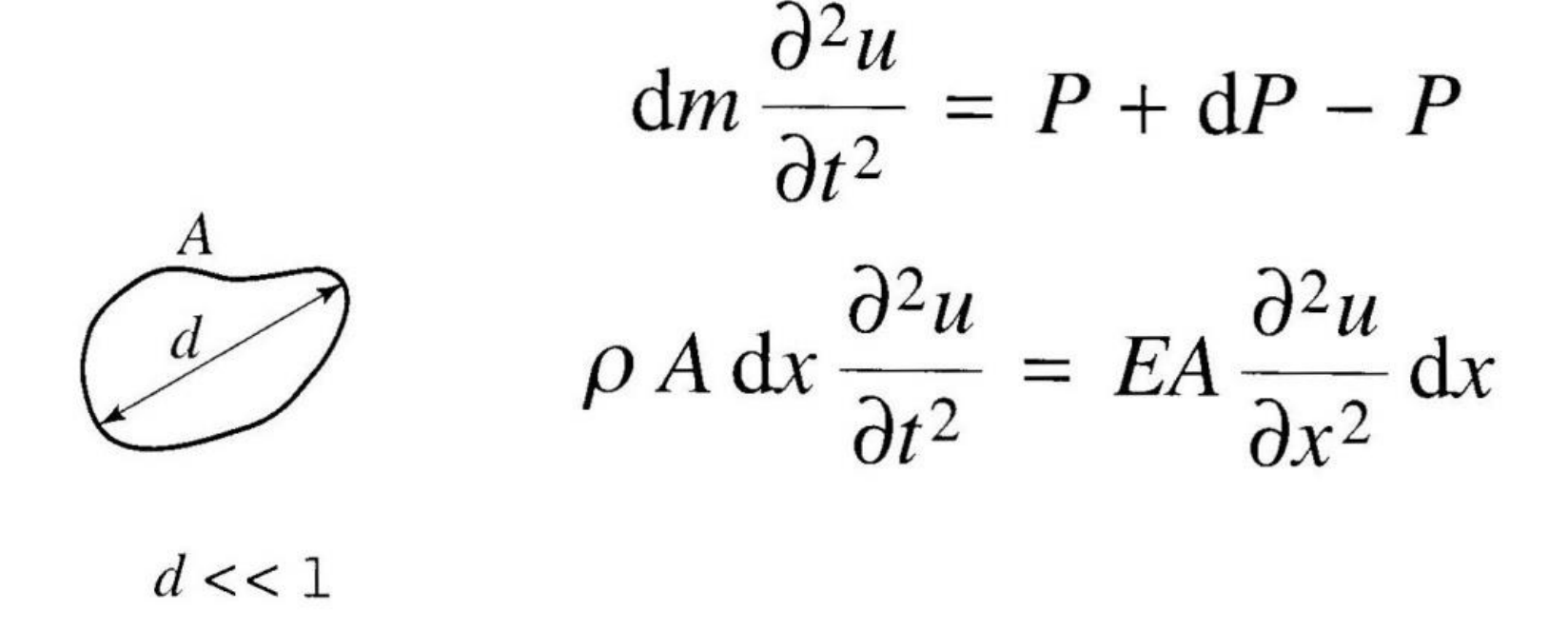
## EPFL II. Vibrations longitudinales des barres



## EPFL II. Vibrations longitudinales des barres



Ecriture de la *loi de Newton* – Equilibre des forces appliquées à un élément dm de barre



Equation d'onde de d'Alembert relative aux vibrations longitudinales d'une barre

$$\frac{\partial^2 u}{\partial t^2} = \frac{E}{\rho} \frac{\partial^2 u}{\partial x^2}$$

Recherche de solutions de l'équation de d'Alembert par séparation des variables

$$\frac{\partial^2 y}{\partial t^2} = a^2 \frac{\partial^2 y}{\partial x^2}$$

$$V(x,t) = V(x) \cdot U(t) \quad (15.20)$$

$$V(x) \quad (x,t) = v(x) \cdot U(t) \quad (x,t) = v(x) \cdot (x,t) = v(x) \cdot (x,t)$$

Ecriture de l'équation de d'Alembert en fonction des nouvelles variables

$$\frac{\ddot{U}}{U} = a^2 \frac{\ddot{V'''}}{V} \qquad (15.21)$$

Résolution *indépendante* des deux membres de l'équation de d'Alembert écrite en fonction des nouvelles variables

$$\frac{\ddot{U}}{U} = a^2 \frac{V''}{V} = -\omega_0^2 \quad (n = 1, 2, ...)$$

Résolution du membre *temporel* de l'équation de d'Alembert

$$\frac{\ddot{U}}{U} = -\omega_n^2 \implies \ddot{U} + \omega_n^2 U = 0$$

$$U_n(t) = A_n \cos(\widetilde{\omega}_n t) + B_n \sin(\omega_n t) \qquad (15.22)$$

Résolution du membre *spatial* de l'équation de d'Alembert

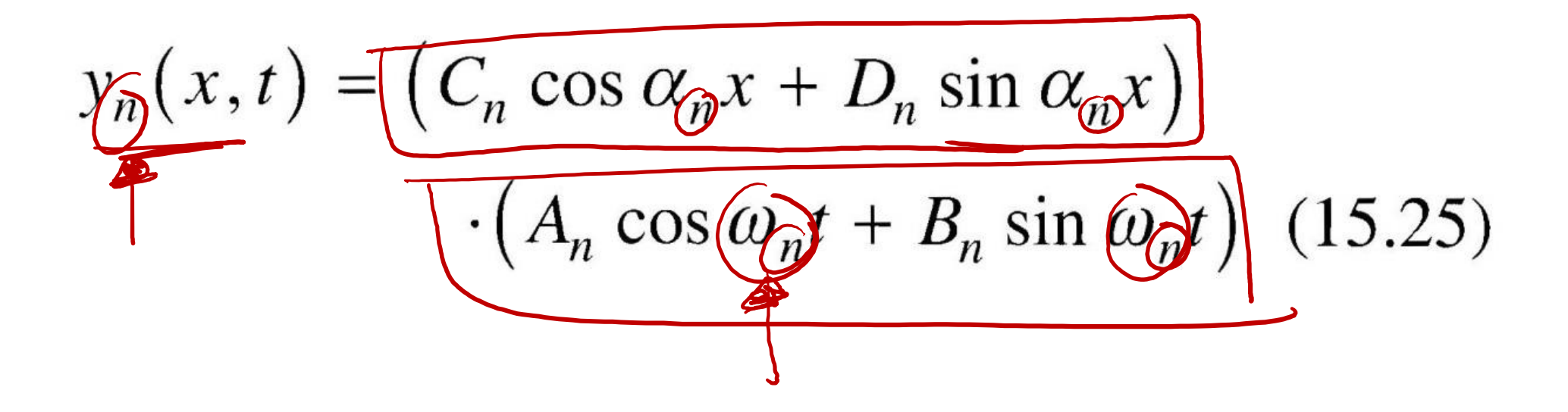
$$a^{2} \frac{\widehat{V''}}{\widehat{V}} = -\omega_{n}^{2} \implies V'' + \frac{\omega_{n}^{2}}{a^{2}} V = 0$$

$$V_{n}(x) = C_{n} \cos \alpha_{n} x + D_{n} \sin \alpha_{n} x \quad (15.24)$$

$$\text{avec}$$

$$\alpha_n = \frac{\omega_n}{a} \quad (15.23)$$

Solution particulière de l'équation d'onde de d'Alembert



Solution générale de l'équation d'onde de d'Alembert – Sommation des solutions particulières

$$y(x,t) = \sum_{n=1}^{\infty} (C_n \cos \alpha_n x + D_n \sin \alpha_n x)$$

$$\cdot (A_n \cos \omega_n t + B_n \sin \omega_n t) \quad (15.26)$$

avec

$$\alpha_n = \frac{\omega_n}{a} \quad (15.23)$$

Commentaires sur la solution générale de l'équation d'onde de d'Alembert

- les conditions initiales permettent de déterminer l'amplitude générale et la phase du mouvement en régime libre, mais sont sont peu utilisées en pratique;
- les conditions aux limites permettent de fixer les caractéristiques principales du comportement statique et dynamique du système;

- les conditions aux limites imposées à la solution dynamique doivent être homogènes, car la forme de cette solution s'annule périodiquement;
- la partie non homogène des conditions aux limites est satisfaite par une déformée statique que l'on superpose à la solution vibratoire;

## EPFL I. Vibrations latérales des cordes

3 4 = T . 3 4 x 2

$$y_n(x,t) = C_n \cos(\alpha_n x + D_n) \sin(\alpha_n x) (A_n \cos(\omega_n t) + B_n \sin(\omega_n t)) (15.25)$$

Conditions aux limites d'une corde vibrante de longueur  $\ell$  en régime libre

$$y(0,t) \equiv 0$$

$$\Rightarrow C_n \cos(0) + D_n \sin(0) = 0$$

$$\Rightarrow C_n = 0$$

$$\Rightarrow D_{\ell} \sin \alpha_{n} \ell = 0$$

$$\Rightarrow \sin \alpha_{n} \ell = 0$$

$$\Rightarrow \alpha_{n} \ell = n \pi \Rightarrow \alpha_{n} = 0$$

Extraction des *pulsations propres* de la corde vibrante

$$\alpha_n = \frac{\omega_n}{a}$$
  $\Rightarrow$   $\omega_n = \alpha_n a$  avec  $a = \sqrt{\frac{T}{\mu_1}}$ 

$$= \frac{1}{\sqrt{2}} \cdot \frac$$

# SGM Ba5 Mécanique Vibratoire

## EPFL I. Vibrations latérales des cordes



$$(y_n(x,t)) = (C_n \cos \alpha_n x + D_n \sin \alpha_n x) \cdot (A_n \cos \omega_n t + B_n \sin \omega_n t)$$
 (15.25)

Pulsations *harmoniques* de la corde vibrante, liées aux solutions harmoniques

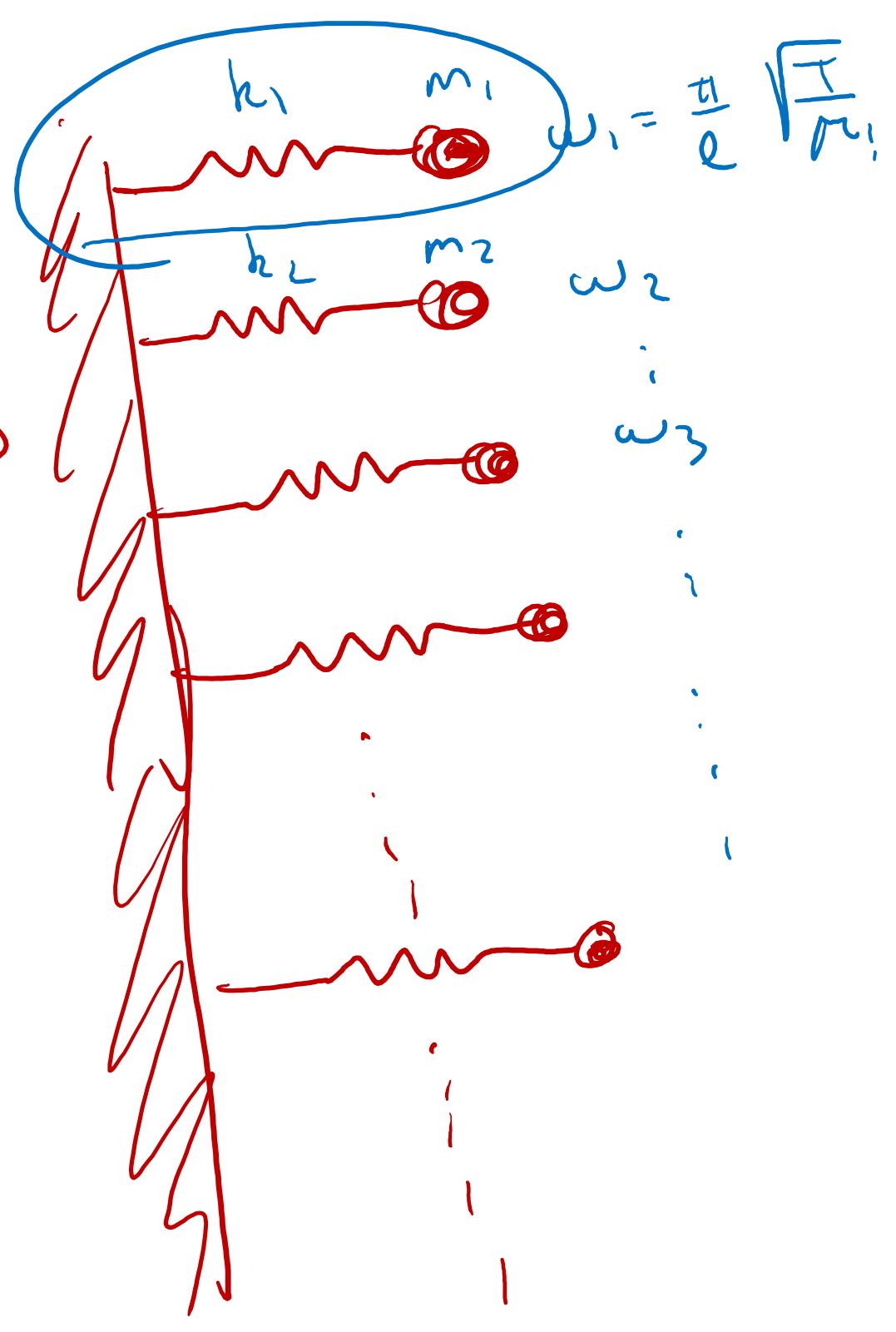
$$\begin{cases} \alpha_n = \frac{n\pi}{\ell} \\ \omega_n \neq \frac{n\pi}{\ell} \sqrt{\frac{T}{\mu_1}} \end{cases} \quad (n = 1, 2, ...)$$

Solution générale de l'équation d'onde relative à la corde vibrante ( $D_n = 1$ )

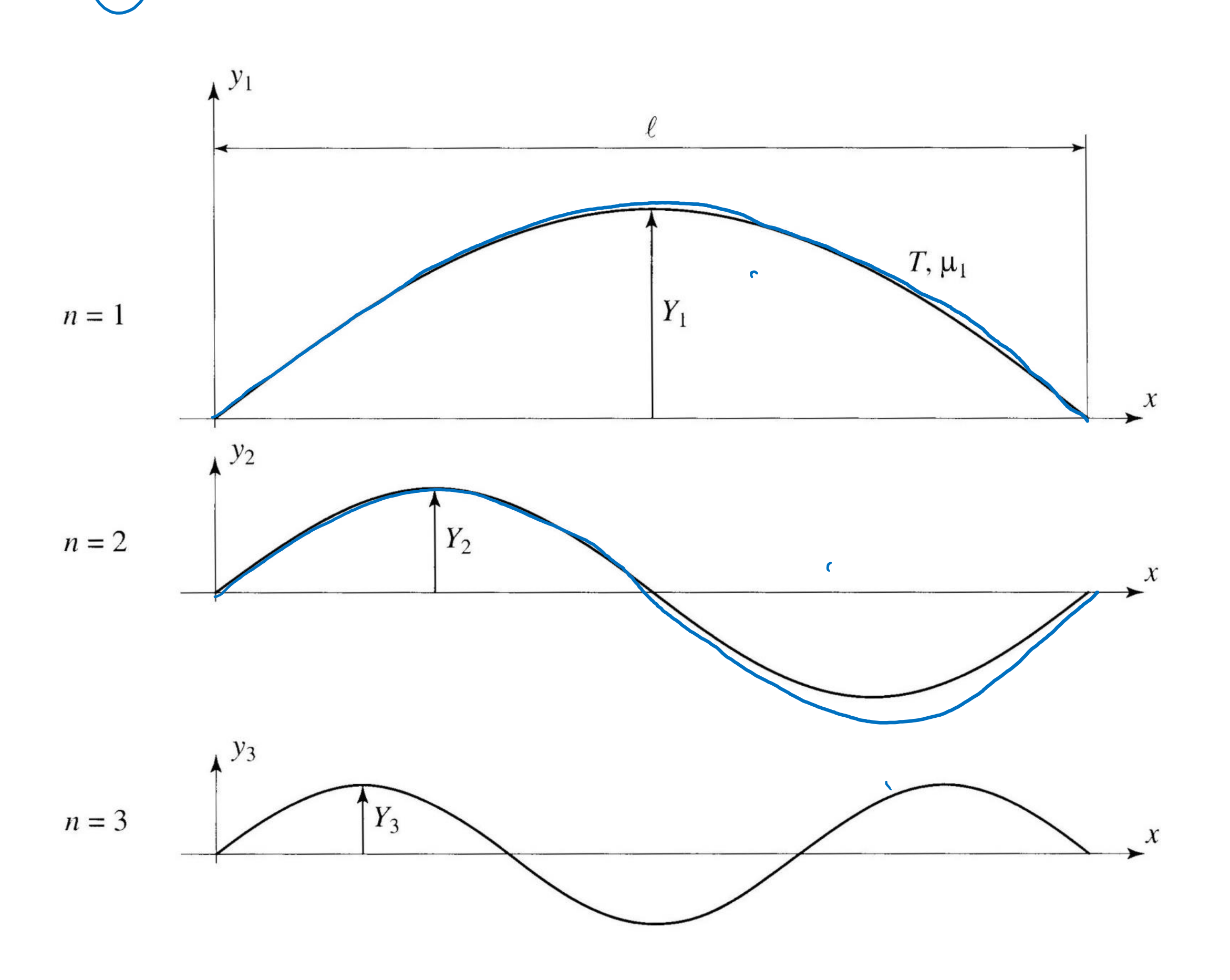
$$y(x,t) = \sum_{n=1}^{\infty} y_n(x,t) = \sum_{n=1}^{\infty} Y_n \sin n \, \alpha_1 x \cdot \cos(n \, \omega_1 t - \varphi_n)$$

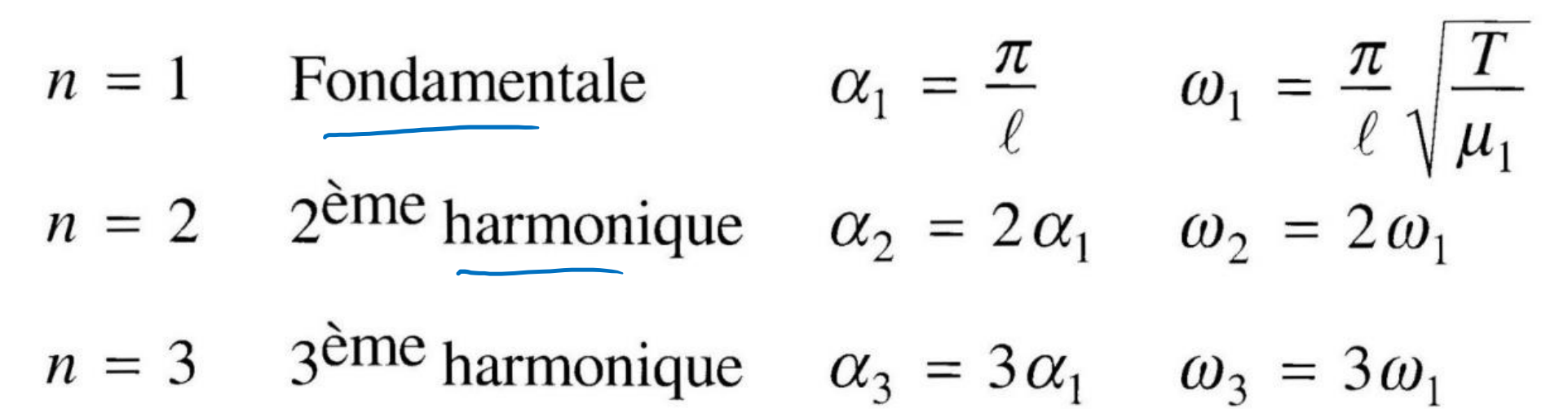
$$(15.30)$$

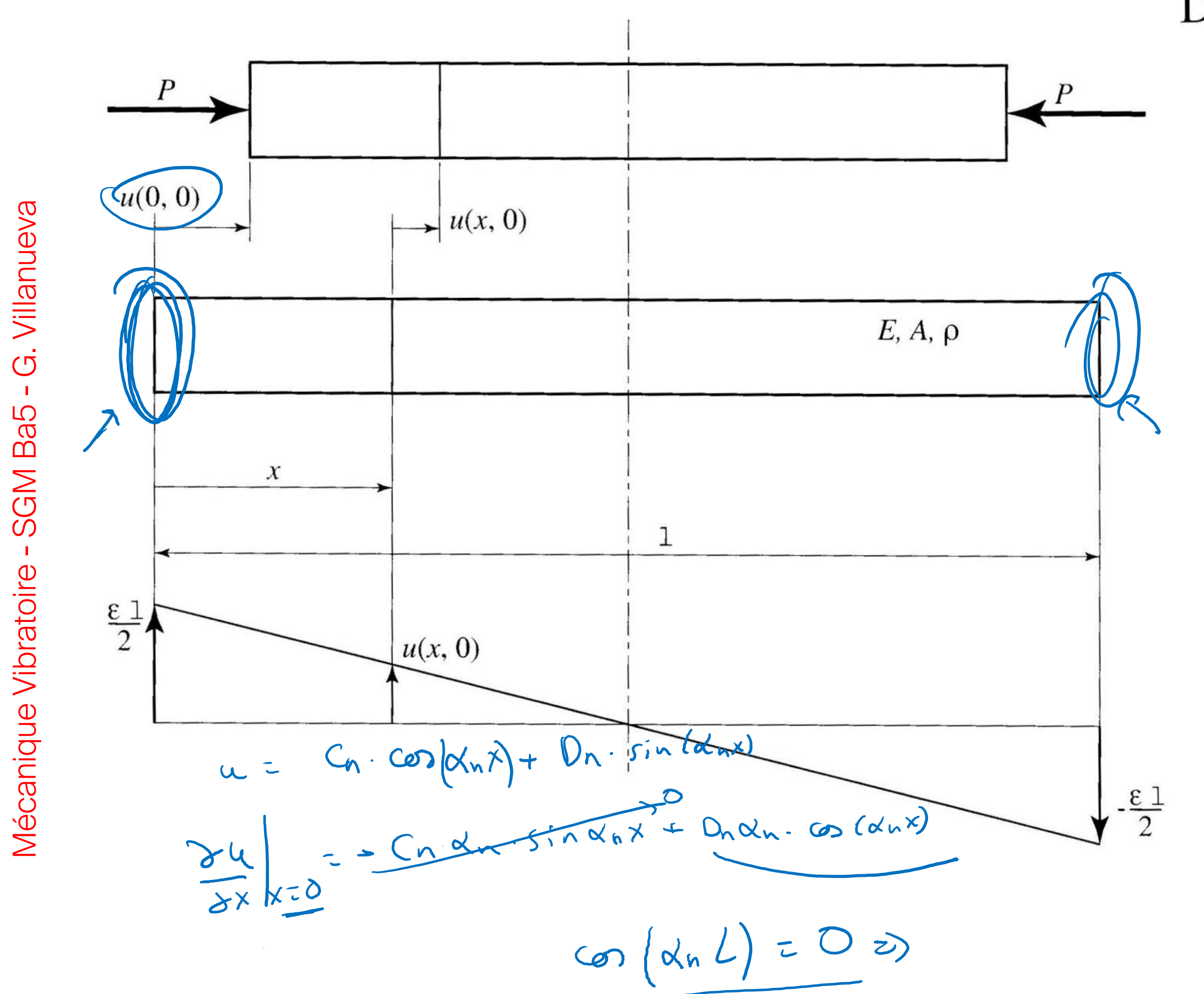
$$\chi(t) = \sum_{n=1}^{\infty} y_n(x,t) = \sum_{n=1}^{\infty} Y_n \sin n \, \alpha_1 x \cdot \cos(n \, \omega_1 t - \varphi_n)$$



## EPFL I. Vibrations latérales des cordes







Dérivation de la *déformation* d'une section de la barre

$$\varepsilon(x,t) = \underbrace{\frac{\partial \omega}{\partial x}}_{\infty}$$

$$= \sum_{n=1}^{\infty} \alpha_n \left( -C_n \sin \alpha_n x + D_n \cos \alpha_n x \right)$$

$$\cdot \left( A_n \cos \omega_n t + B_n \sin \omega_n t \right)$$

Conditions aux limites d'une barre libre en ses extrémités – Contrainte et allongement relatif nuls en x = 0 et  $x = \ell$ 

$$\begin{array}{c|c}
\varepsilon(0,t) & \equiv 0 \\
\varepsilon(\ell,t) & \equiv 0
\end{array} \Rightarrow \begin{array}{c}
D_n = 0 \\
\alpha_n \ell = n \pi \\
\Rightarrow \alpha_n = \frac{n \pi}{\ell}
\end{array}$$

Dérivation de la *déformation* d'une section de la barre

$$\varepsilon(x,t) = \frac{\partial u}{\partial x}$$

$$= \sum_{n=1}^{\infty} \alpha_n \left( -C_n \sin \alpha_n x + D_n \cos \alpha_n x \right)$$

$$\cdot \left( A_n \cos \omega_n t + B_n \sin \omega_n t \right)$$

Conditions aux limites d'une barre libre en ses extrémités – Contrainte et allongement relatif nuls en x = 0 et  $x = \ell$ 

$$\varepsilon(0,t) \equiv 0 \implies D_n = 0$$

$$\varepsilon(\ell,t) \equiv 0 \implies \alpha_n \ell = n \pi$$

$$\Rightarrow \alpha_n = \frac{n \pi}{\ell}$$

Extraction des *pulsations propres* de la barre libre-libre

$$\alpha_n = \frac{\omega_n}{a} \implies \omega_n = \alpha_n a$$

$$\text{avec} \quad a = \sqrt{\frac{E}{\rho}}$$

Conditions aux limites d'une barre libre en ses extrémités – Contrainte et allongement relatif nuls en x = 0 et  $x = \ell$ 

$$\varepsilon(0,t) \equiv 0 \implies D_n = 0$$

$$\varepsilon(\ell,t) \equiv 0 \implies \alpha_n \ell = n \pi$$

$$\Rightarrow \alpha_n = \frac{n \pi}{\ell}$$

Extraction des *pulsations propres* de la barre libre-libre

$$\alpha_n = \frac{\omega_n}{a} \implies \omega_n = \alpha_n a$$

avec 
$$a = \sqrt{\frac{E}{\rho}}$$

Solution générale de l'équation d'onde relative à la barre libre-libre ( $C_n = 1$ )

$$u(x,t) = \sum_{n=1}^{\infty} u_n(x,t)$$

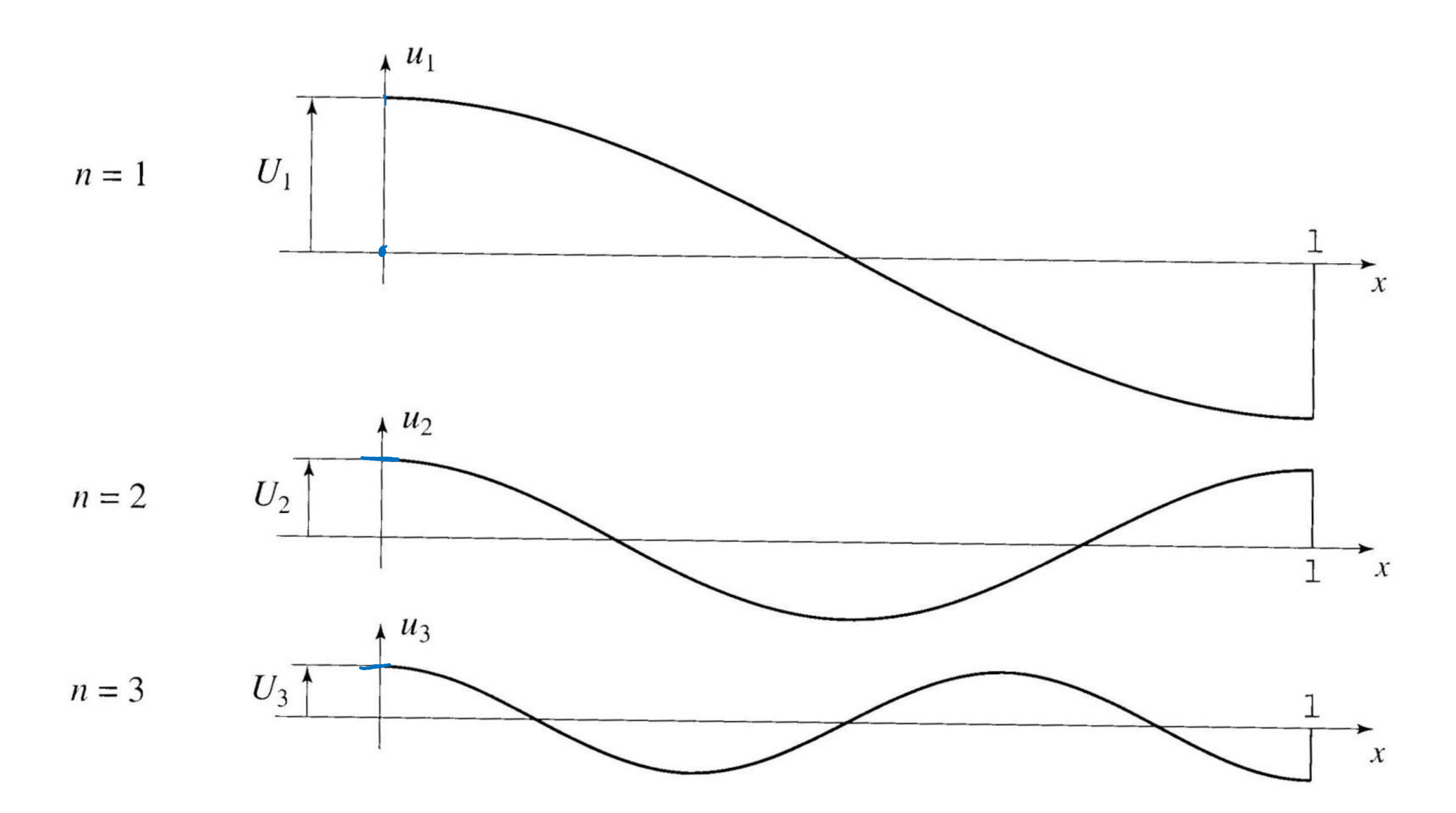
$$= \sum_{n=1}^{\infty} \cos n \, \alpha_1 x$$

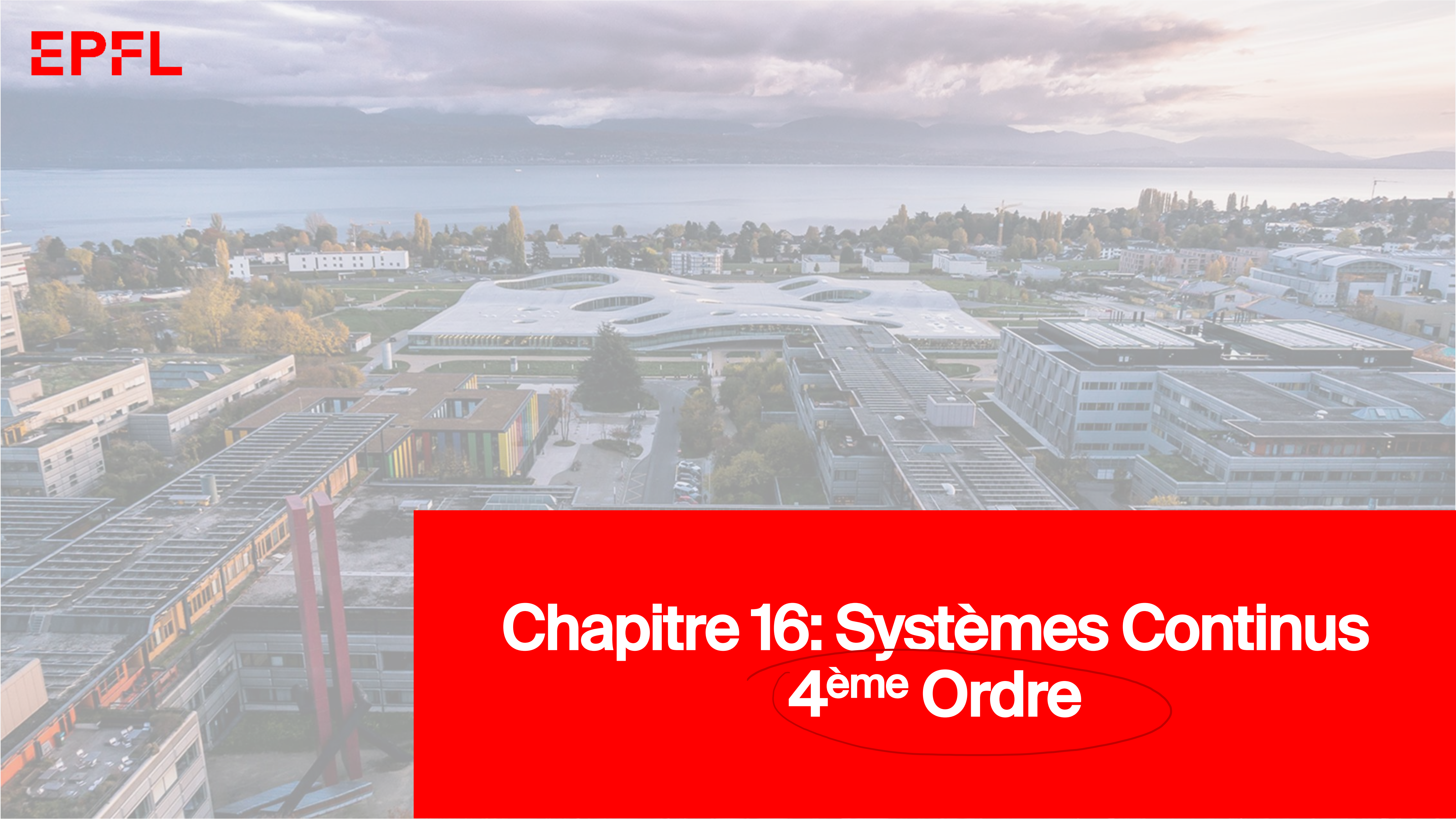
$$(A_n \cos n \, \omega_1 t + B_n \cos n \, \omega_1 t) \qquad (15.33)$$

$$= \sum_{n=1}^{\infty} U_n \cos n \, \alpha_1 x \cdot \cos(n \, \omega_1 t - \varphi_n) \qquad (15.34)$$

$$u_n(x,t) \qquad \text{mode propre de rang } n$$

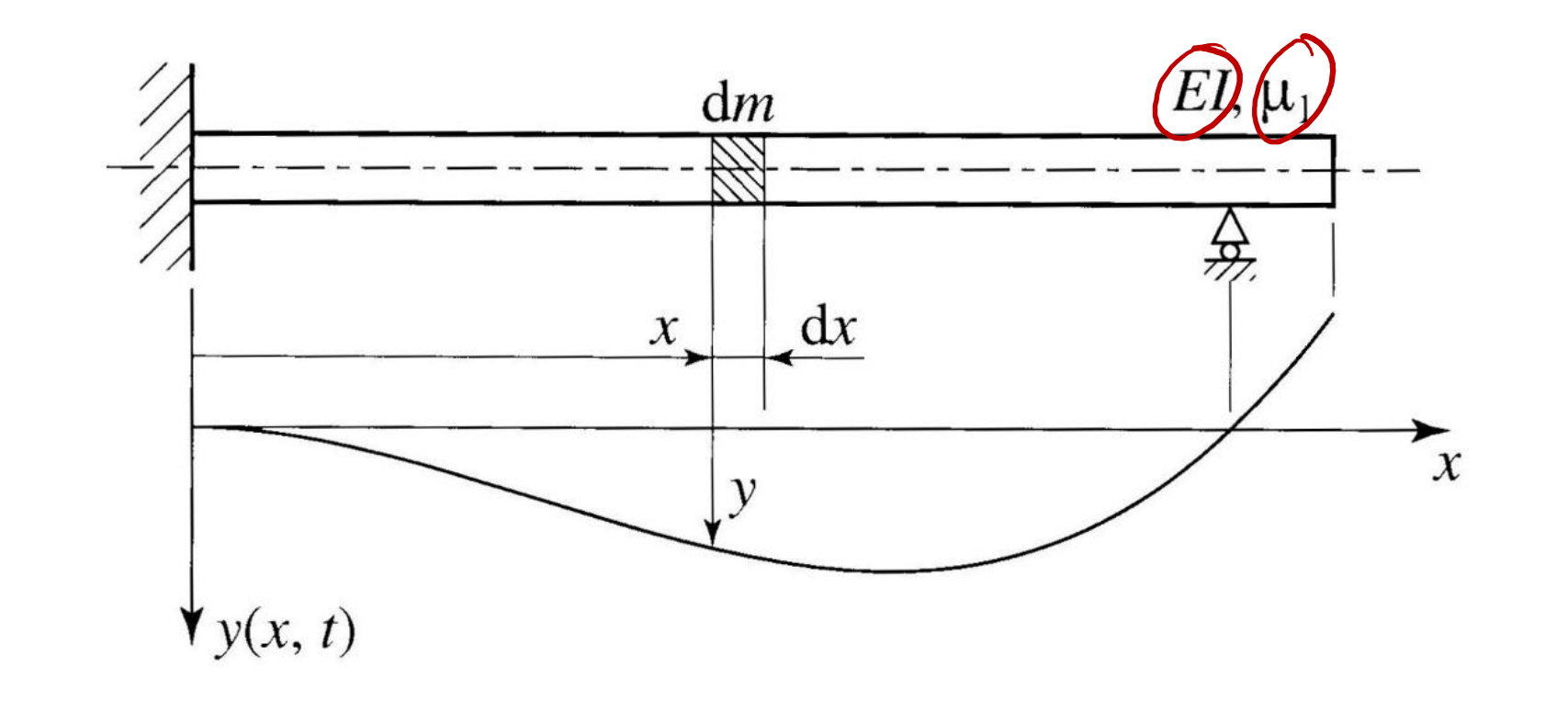
$$U_n \cos n \, \alpha_1 x \quad \text{forme propre de rang } n$$

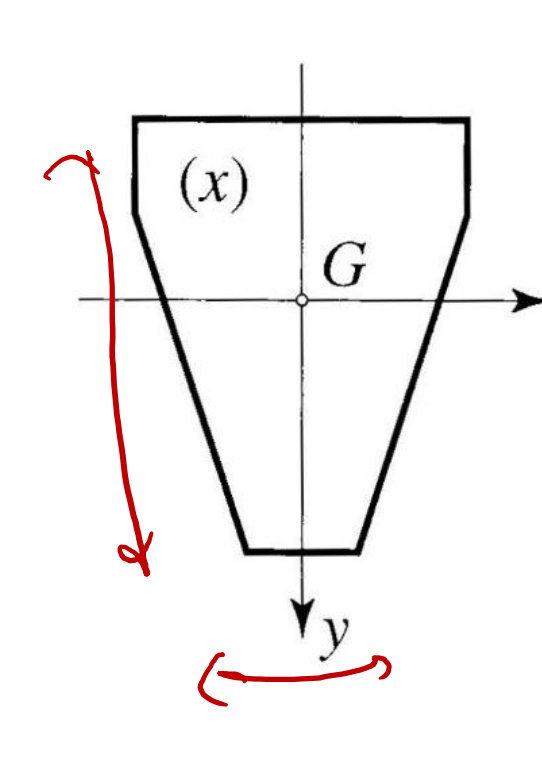


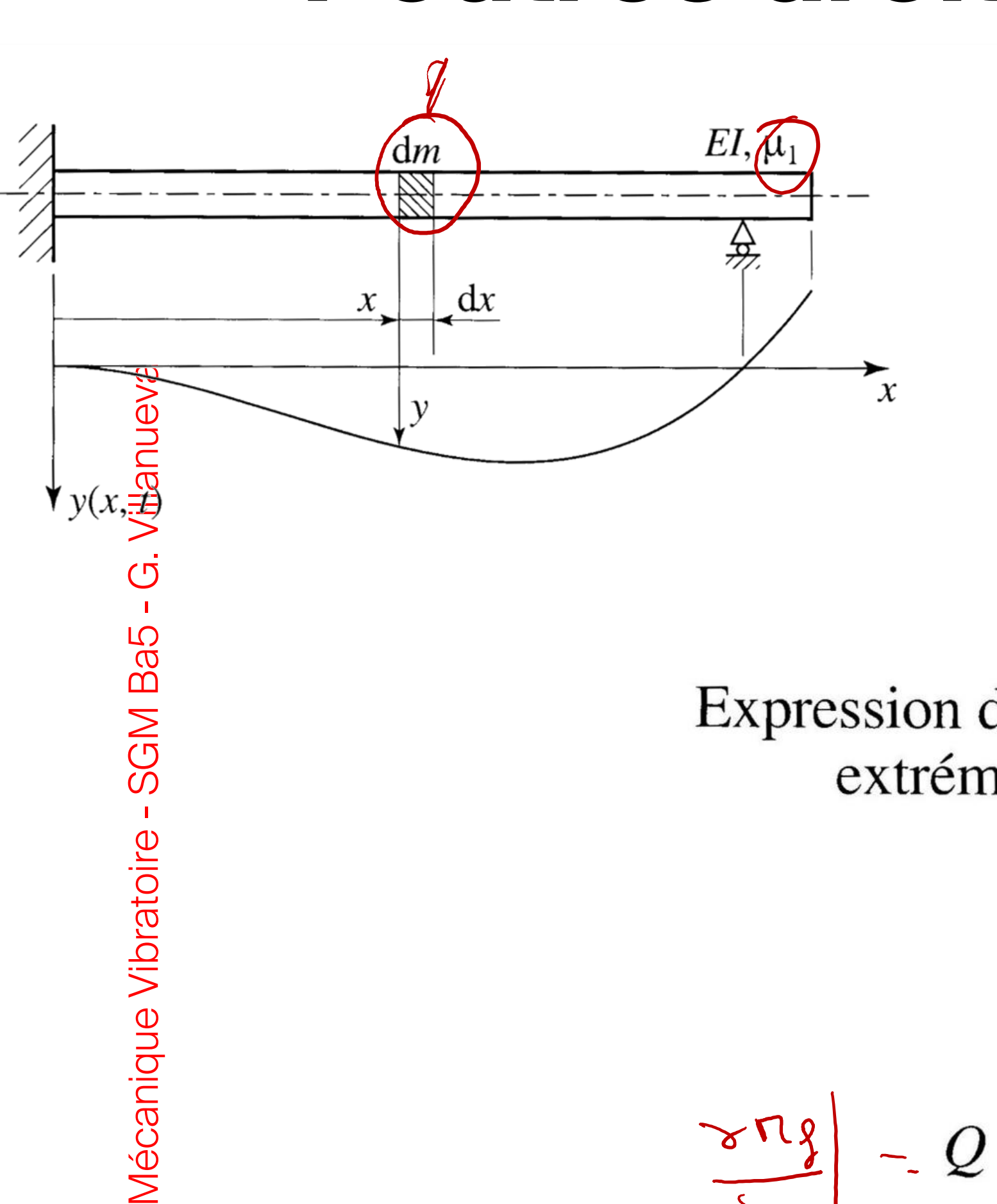


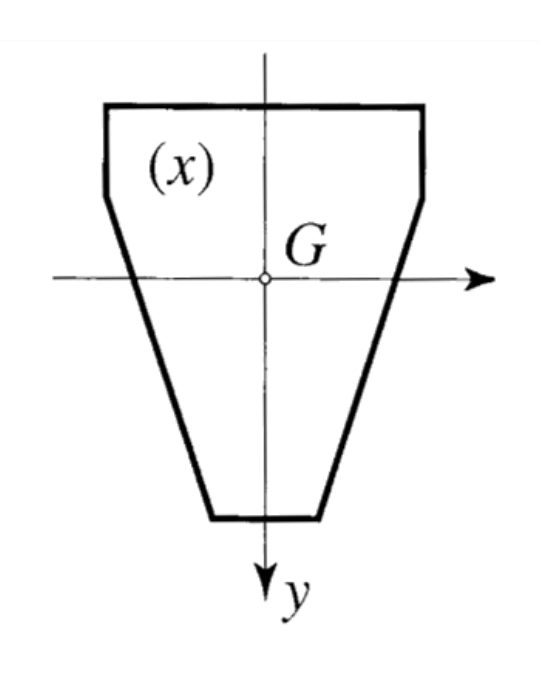
Hypothèses adoptées pour l'étude des vibrations de flexion des poutres droites – Théorie de Bernoulli-Euler des poutres droites

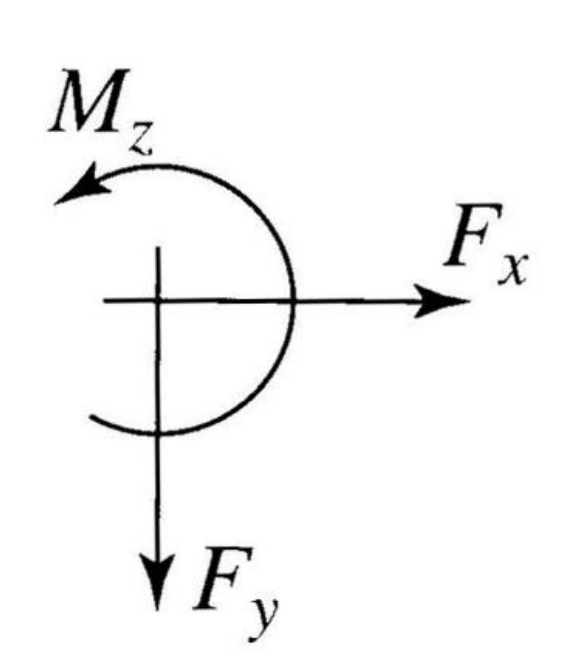
- l'axe neutre x de la poutre est une droite;
- la poutre vibre latéralement dans le plan xy (vibrations coplanaires);
- les axes y et z sont principaux d'inertie;
- l'inertie de rotation des sections droites de la poutre est négligée;
- une section droite avant déformation reste droite après déformation (hypothèse de Bernoulli – effet du cisaillement négligé).

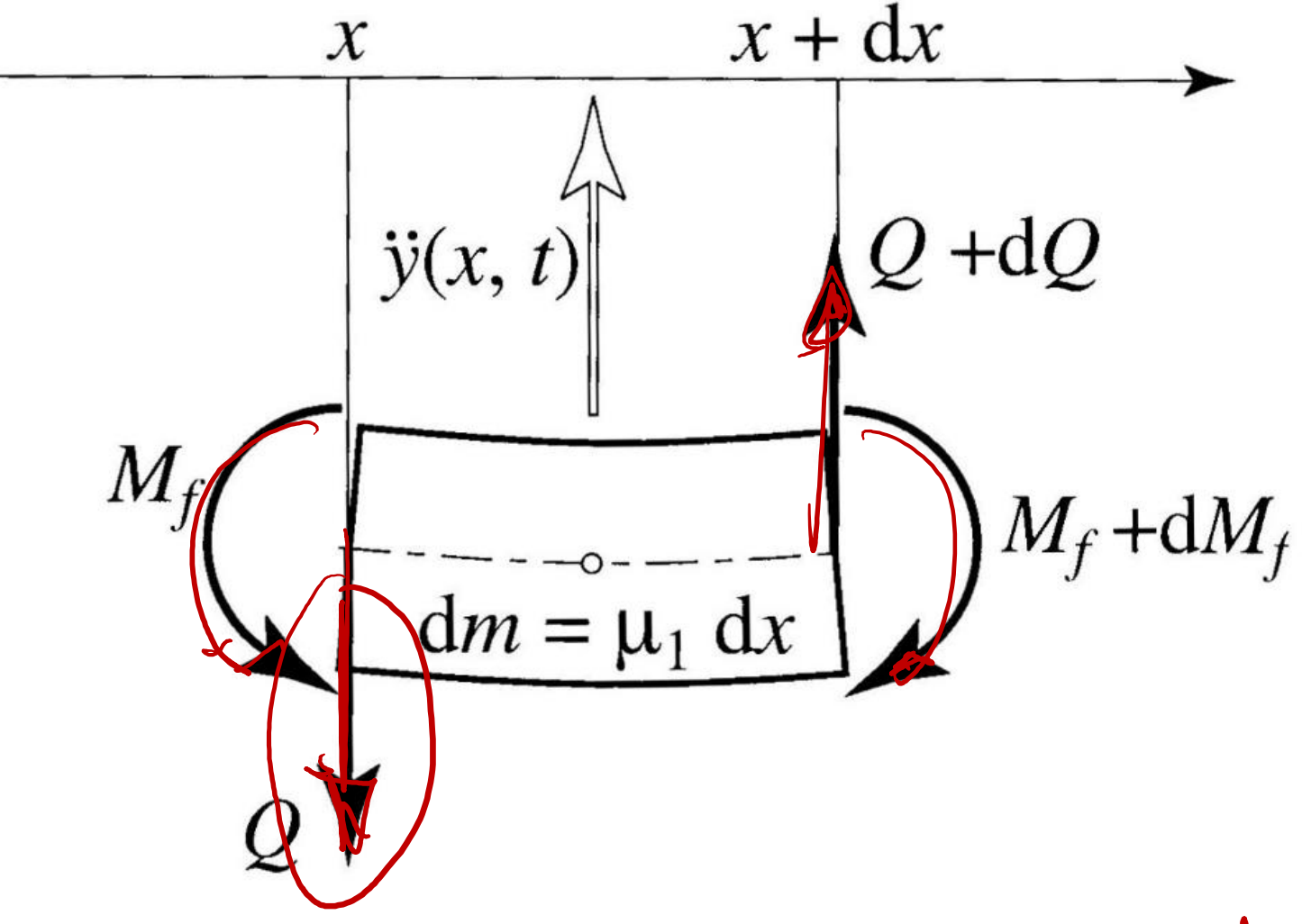












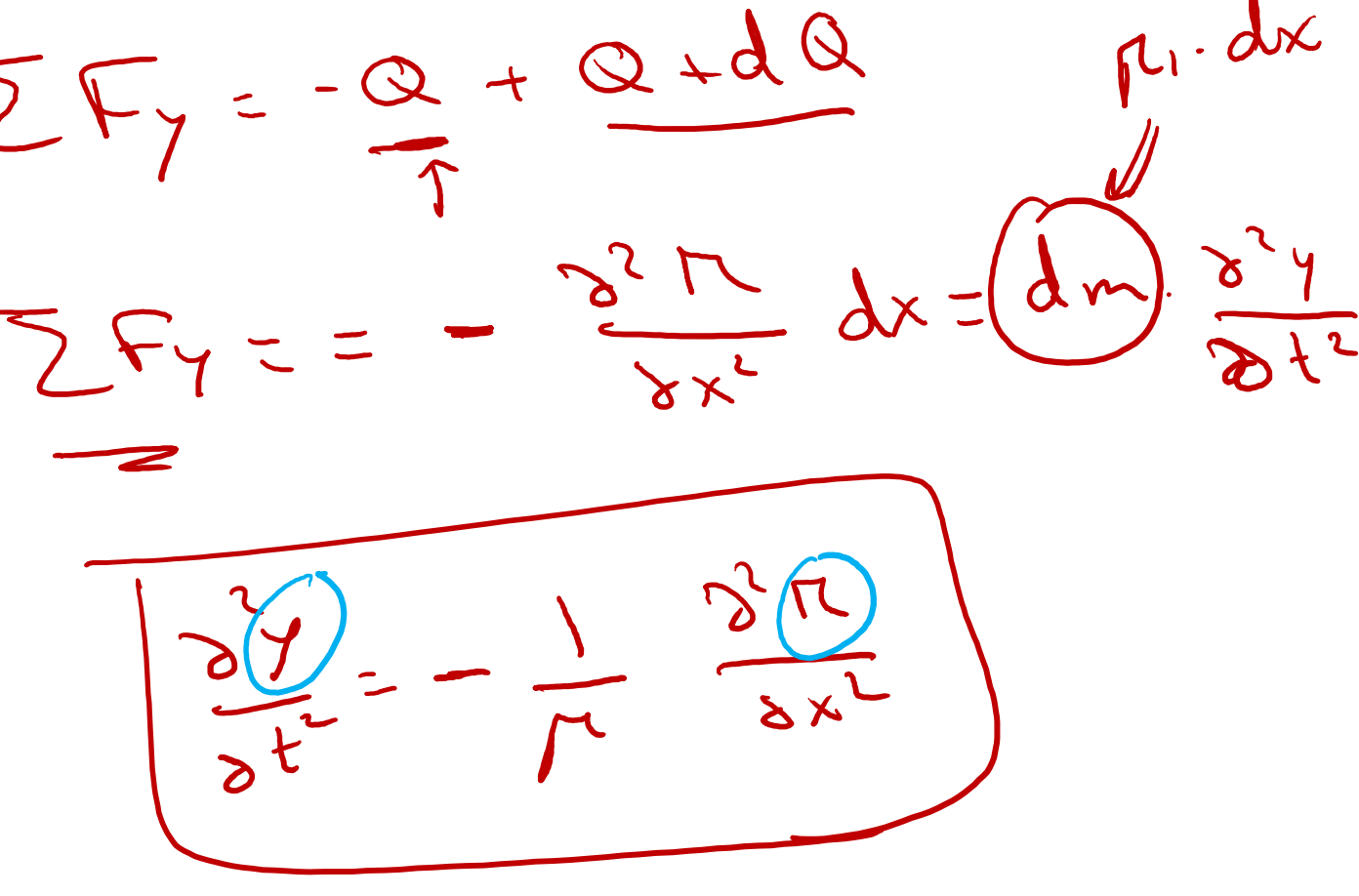
Expression des *efforts tranchants Q* et *Q*+d*Q* aux extrémités d'un élément d*m* de poutre

$$Q = \frac{\partial M_f}{\partial x}$$

$$-Q + dQ = \frac{\partial M_f}{\partial x} + \frac{\partial^2 M_f}{\partial x^2} dx$$

 $M_f$  moment de flexion



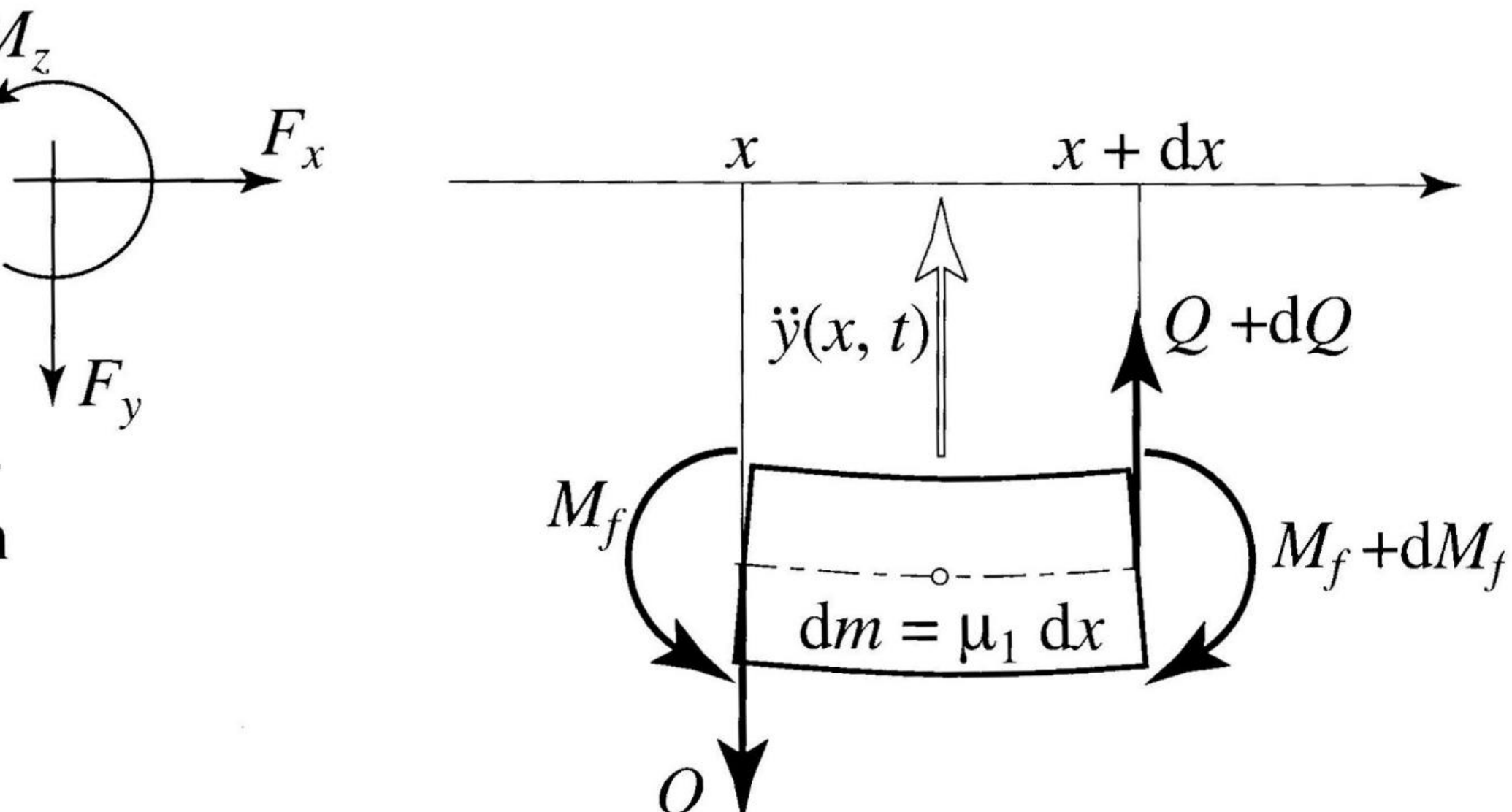


Ecriture de la *loi de Newton* – Equilibre d'un élément d*m* de poutre par projection des forces selon l'axe y (référentiel droit)

$$dm\frac{\partial^2 y}{\partial t^2} = -(Q + dQ) + Q$$

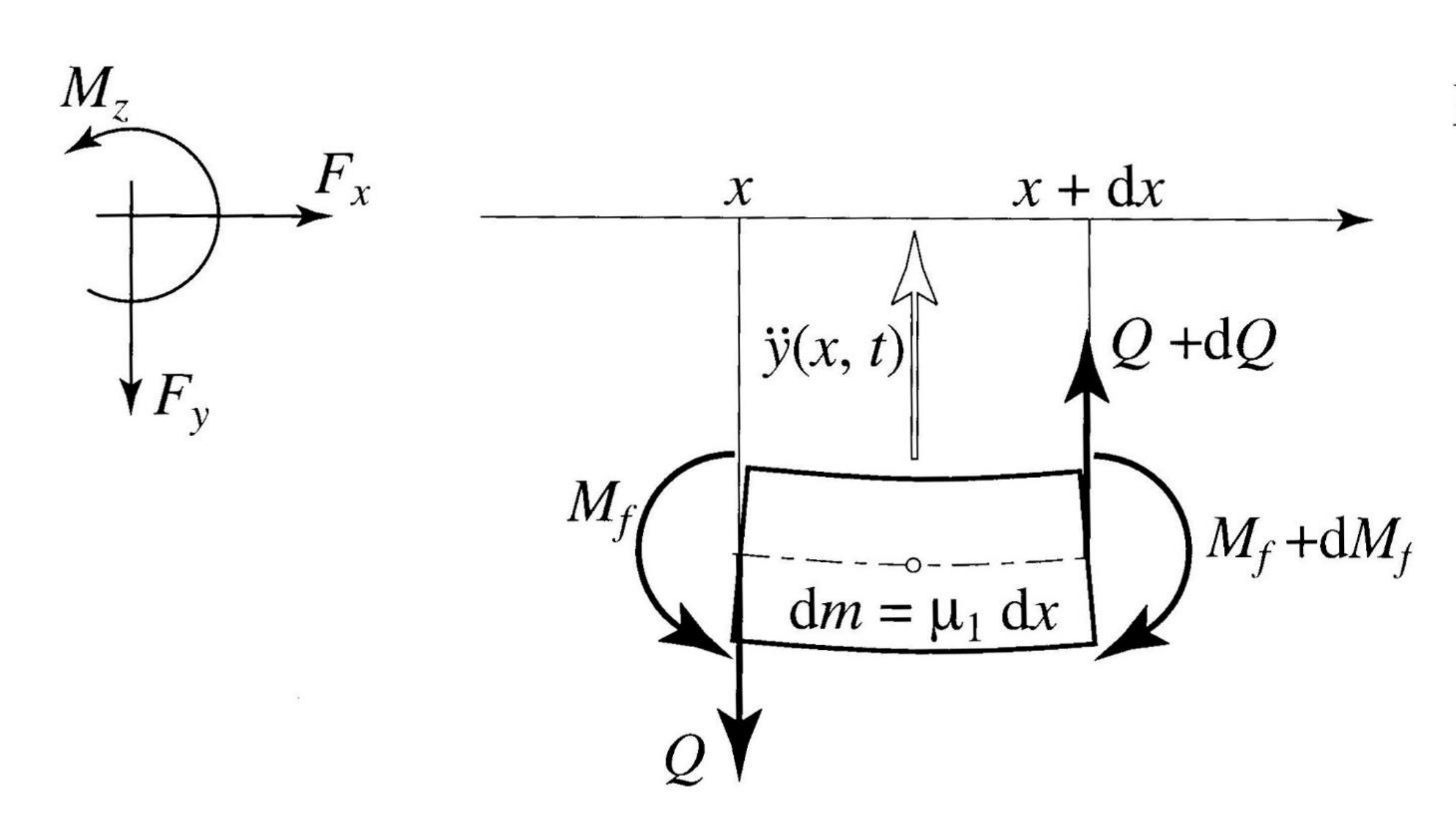
$$\mu_1 dx \frac{\partial^2 y}{\partial t^2} = -\left(\frac{\partial M_f}{\partial x} + \frac{\partial^2 M_f}{\partial x^2} dx\right) + \frac{\partial M_f}{\partial x}$$

y déplacement transversal  $\mu_1$  masse par unité de longueur



Equation différentielle relative aux vibrations de flexion d'une poutre

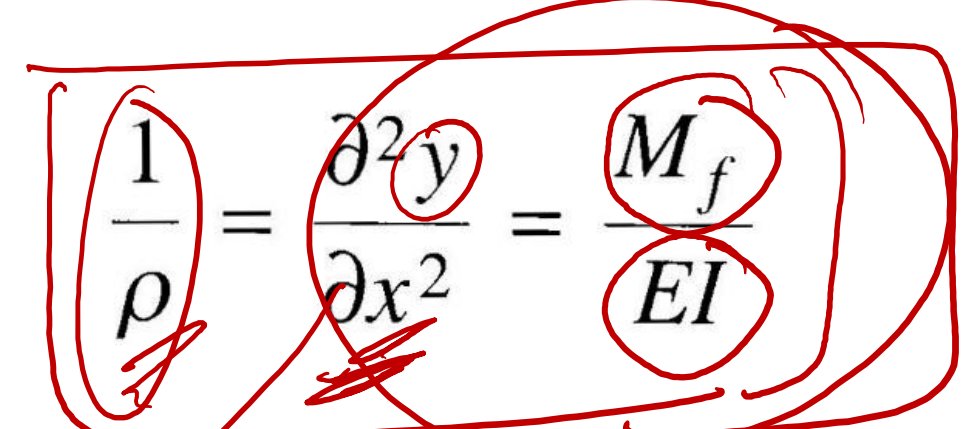
$$\mu_1 \frac{\partial^2 y}{\partial t^2} = -\frac{\partial^2 M_f}{\partial x^2} \tag{16.1}$$



Equation différentielle relative aux vibrations de flexion d'une poutre

$$\mu_1 \frac{\partial^2 y}{\partial t^2} = -\frac{\partial^2 M_f}{\partial x^2} \tag{16.1}$$

Lien entre le rayon de courbure  $\rho$  de la poutre et le moment de flexion  $M_f$  (référentiel droit)



E module d'élasticité

moment d'inertie de la section par rapport à l'axe z

Equation différentielle régissant les vibrations latérales d'une poutre de section constante

$$\frac{\partial^2 y}{\partial t^2} = -\frac{EI}{\mu_1} \frac{\partial^4 y}{\partial x^4}$$
 (16.2)

## EPFL Séparation de variables

$$\left(\frac{\partial^2 y}{\partial t^2}\right) = -\frac{EI}{\mu_1} \left(\frac{\partial^4 y}{\partial x^4}\right) \tag{16.2}$$

$$y(x,t) = V(x) \cdot U(t) \quad (16.3)$$

Ecriture de l'équation différentielle en fonction des nouvelles variables

$$\left(\frac{\ddot{U}}{U}\right) = -\frac{EI}{\mu_1} \left(\frac{V^{(V)}}{V}\right) \quad (16.4)$$

Résolution du membre *temporel* de l'équation différentielle

$$\frac{\ddot{U}}{U} = -\omega_n^2 \implies \ddot{U} + \omega_n^2 U = 0$$

$$U_n(t) = A_n \cos \omega_n t + B_n \sin \omega_n t \quad (16.5)$$

## EPFL Séparation de variables

$$\frac{\partial^2 y}{\partial t^2} = -\frac{EI}{\mu_1} \frac{\partial^2 y}{\partial x^2}$$
 (16.2)

$$y(x,t) = V(x) \cdot U(t) \quad (16.3)$$

Ecriture de l'équation différentielle en fonction des nouvelles variables

$$\frac{\ddot{U}}{U} = -\frac{EI}{\mu_1} \frac{V^{IV}}{V} \qquad (16.4)$$

Résolution du membre *spatial* de l'équation différentielle

$$\frac{EI}{\mu_1} \frac{V^{IV}}{V} = -\omega_n^2 \implies V^{IV} - \omega_n^2 \frac{\mu_1}{EI} V = 0$$

$$V_n(x) = C_{n1} e^{\alpha_n x} + C_{n2} e^{-\alpha_n x}$$

$$+ C_{n3} \cos \alpha_n x + C_{n4} \sin \alpha_n x \qquad (16.7)$$
avec

$$V_{n}(x) = 0$$

$$Sinh(\alpha_{n}x) + 0$$

$$\alpha_{n} = 4$$

$$\omega_{n}^{2} \frac{\mu_{1}}{EI}$$

$$(16.6)$$

$$\left( \frac{\omega_{n}^{2}}{m} - \frac{ET}{m} \cdot \lambda_{n}^{4} \right)$$

## EPFL Séparation de variables

Solution générale de l'équation différentielle par sommation des solutions particulières

$$y(x,t) = \sum_{n=1}^{\infty} \left( A_n \cos \omega_n t + B_n \sin \omega_n t \right)$$

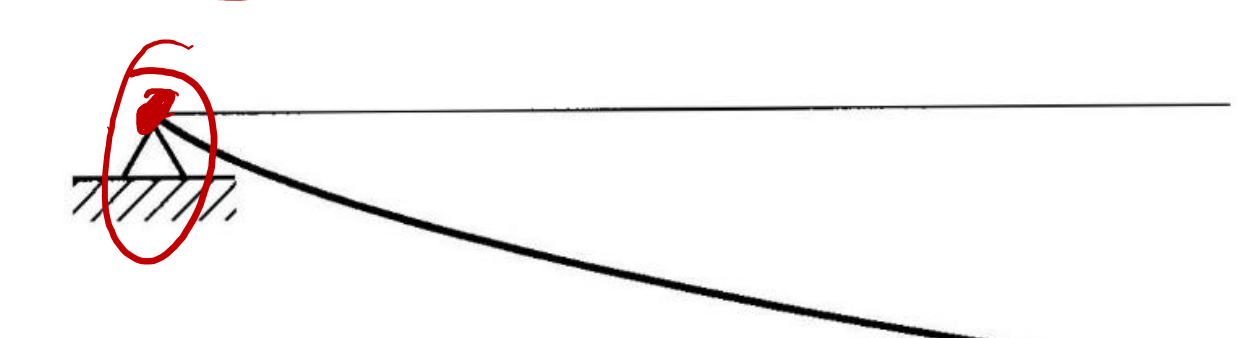
$$\left( C_{n1} e^{\alpha_n x} + C_{n2} e^{-\alpha_n x} + C_{n3} \cos \alpha_n x + C_{n4} \sin \alpha_n x \right)$$

$$(16.8)$$

## **EPFL Conditions de Borde**

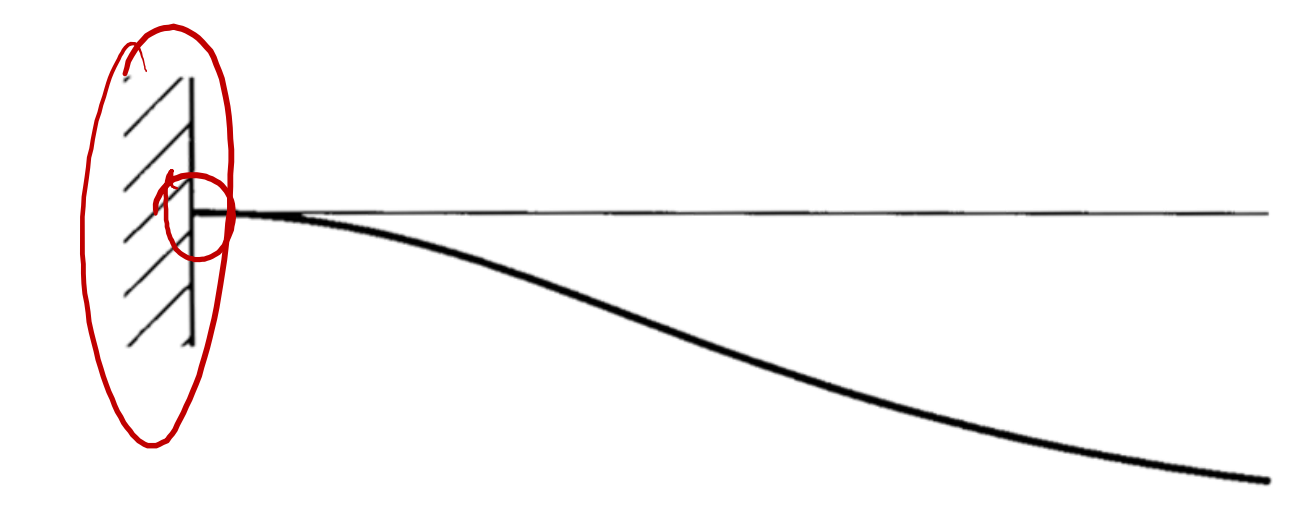
appui simple

$$M_f = 0 \implies y'' = 0$$



encastrement parfait

$$y = 0$$
$$y' = 0$$



extrémité libre

$$\begin{array}{c}
M_f = 0 \\
Q = 0
\end{array} \Rightarrow \begin{array}{c}
y'' = 0 \\
y''' = 0
\end{array}$$

• encastrement partiel élastique

$$M = -ky' \implies y'' = ky'' = ky''$$

